基于 ICOA 优化 XGBoost 的光伏阵列故障诊断方法

董建业¹ 李红月¹ DONG Jianye LI Hongyue

摘 要

基于 XGBoost 模型是识别光伏阵列故障类型的一项重要技术,由于 XGBoost 参数初始化设定的主观性和随机性,导致模型在训练和学习时准确度低。针对传统 XGBoost 算法的不足,文章提出了一种优化长鼻浣熊算法 (ICOA) 优化 XGBoost 初始参数的故障诊断方法。采用 Logistic-Tent 混沌映射、自适应权重因子、Levy 飞行和透镜成像学习策略来优化长鼻浣熊算法 (COA),降低了算法易陷入局部极值点的可能性。利用 ICOA 算法对 XGBoost 分类算法进行优化,构建 ICOA-XGBoost 光伏阵列故障诊断模型,并与其他优化算法模型进行实例对比分析,验证了改进后的算法在识别光伏阵列故障类别上的有效性和实用性。

关键词

光伏阵列: 故障诊断: 改进长鼻浣熊算法: XGBoost 算法

doi: 10.3969/j.issn.1672-9528.2024.11.012

0 引言

随着能源多元化发展的持续推进,分布式光伏发电得到 广泛发展。但光伏阵列易发生老化、局部遮荫、开路和短路 等故障,因此提高故障诊断准确率,不仅能提高发电系统的 可靠性,而且能有效降低运维成本^[1]。

目前,很多机器学习分类算法应用于光伏阵列故障诊断中。吴亚钧等人通过加入 Levy 飞行策略和黄金分割系数改

1. 安徽理工大学电气与信息工程学院 安徽淮南 232001

进蜣螂算法,该方法寻优速度快且稳定^[2]。王一鸣等人提出麻雀算法优化支持向量机算法,有效解决支持向量机算法收敛速度慢的问题^[3]。罗凯元等人引入融合佳点集、分段自适应逃逸能量机制和黄金正弦策略进一步优化哈里斯鹰算法,显著提高故障诊断准确率^[4]。

综合上述分析,本文提出一种改进长鼻浣熊算法(coati optimization algorithem,ICOA)优化 XGBoost 算法的初始参数,有效提高模型诊断准确率。首先,提出优化策略并进行改进; 然后,将 ICOA 算法与 COA、WOA 和 DBO 算法进

- [3] DUAN J Y, GUO L L. Variable-length subsequence clustering in time series[J].IEEE transactions on knowledge and data engineering. 2022, 34(2): 983-995.
- [4] CARON M, BOJANOWSKI P, JOULIN A, et al. Deep clustering for unsupervised learning of visual features[C]// Computer Vision-ECCV 2018. Berlin: Springer, 2018: 139-156.
- [5] CHEN F W, PAN S R, JIANG J, et al. DAGCN: dual attention graph convolutional networks[C]//2019 International Joint Conference on Neural Networks. Piscataway, NJ: IEEE, 2019: 1-8.
- [6] BONCHI F, GIONIS A, UKKONEN A. Overlapping correlation clustering[J]. Knowledge and information systems, 2013, 35: 1-32.
- [7] WANG X S, LI L J, CHENG Y H. An overlapping module

- identification method in protein-protein interaction networks[J]. BMC bioinformatics, 2012, 13(S-7):S4.
- [8] 陈国艳, 张颖, 梁德群. 基于 BIC 准则的图像分割算法 [J]. 辽宁工程技术大学学报(自然科学版), 2016,35(11):1359-1362.
- [9] 赖健琼. 自适应 AP 聚类算法研究 [J]. 计算机时代, 2022 (4): 38-42.

【作者简介】

张娟(1981—),通讯作者(zhangjuan@mail.taiji.com. cn),女,天津人,本科,工程师,研究方向:数据挖掘、数据中台。

李娜(1981—), 女, 江西宜丰人, 本科, 助理研究员, 研究方向: 数字经济。

(收稿日期: 2024-08-09)

行对比,证明 ICOA 算法有着更好的收敛性和稳定性;最后将优化算法分类诊断模型与其他诊断模型进行对比,进一步验证所提优化分类诊断模型的优越性。

1 改进长鼻浣熊优化算法 (ICOA)

1.1 长鼻浣熊优化算法

长鼻浣熊优化算法 (COA) 是基于长鼻浣熊狩猎行为的优化算法。主要核心是模仿长鼻浣熊的两种自然行为: 浣熊对鬣蜥的狩猎行为和浣熊逃离捕食者的行为,该算法具有进化能力强、探索速度快和寻优能力较强等优点^[5]。具体过程如下。

(1) 种群初始化

在寻优空间中随机初始化种群:

$$x_{i,j} = b_i^L + R(b_i^U - b_i^L)$$
 (1)

式中: $x_{i,j}$ 为个体; b_j^L 为寻优空间的下边界; b_j^U 为寻优空间的上边界; R 为 [0,1] 之间的随机数。

(2) 探索阶段

在此阶段中一半浣熊攻击鬣蜥,其余的浣熊等待鬣蜥改变位置。前一半位置更新表达式为:

$$\begin{cases} x_{i,j}^{\text{PI}} = x_{i,j} + R \cdot \left(G_j - Ix_{i,j}\right) \\ i = 1, 2, \dots, \left\lceil \frac{N}{2} \right\rceil \end{cases}$$
 (2)

式中: $x_{i,j}^{PI}$ 为第一阶段个体位置; G_j 为鬣蜥的位置; I为集合 $\{1,2\}$ 中随机选取的一个数; N为浣熊的数量。

剩余的浣熊位置更新公式为:

$$x_{i,j}^{\text{Pl}} = \begin{cases} x_{i,j} + R(G_j^g - Ix_{i,j}), F_{G,j}^g \le F_{i,j} \\ x_{i,j} + R(x_{i,j} - G_j^g), F_{G,j}^g > F_{i,j} \end{cases}$$

$$i = \left[\frac{N}{2}\right] + 1, \dots, N$$
(3)

式中: G_j^s 为鬣蜥的新位置; $F_{g,j}^s$ 为更新后的目标函数值; F_{ij} 为更新前的目标函数值。

位置更新后,进行目标函数值对比。如果更新后的个体 更优,则更新个体到当前位置;否则保持原状。

(3) 开发阶段

在开发阶段中浣熊会逃避捕食者到其他位置。此时每只 浣熊附件随机生成一个位置。

$$\begin{cases} x_{i,j}^{P2} = x_{i,j} + (1 - 2R) \left(b_{j,L}^{W} + R \left(b_{j,U}^{W} - b_{j,L}^{W} \right) \right) \\ b_{j,L}^{W} = \frac{b_{j}^{L}}{t}, b_{j,U}^{W} = \frac{b_{j}^{U}}{t}, t = 1, 2, \dots, T \end{cases}$$
(4)

式中: $x_{i,j}^{P2}$ 为个体新位置; t 为当前迭代次数; T 为最大迭代次数。

位置更新后,进行目标函数值对比。如果更新后的个体 更优,则更新个体到当前位置,否则保持原状。

经过所有阶段位置更新后,则完成一次算法迭代。随后

COA 进行下一次的迭代。将最优位置作为最优解输出。

1.2 长鼻浣熊优化算法的改进

(1) Logistic-Tent 混沌映射初始化种群

在 COA 中种群初始化是随机的,会影响后期全局搜索能力^[6]。引入 Logistic-Tent 混沌映射生成优良的初始化种群,能有效防止在种群初始化不均问题,加快收敛速度,提高寻优的精准度。Logistic-Tent 混沌映射的数学表达式为:

$$x_{n+1} = \begin{cases} \left[rx_n (1 - x_n) + \frac{(4 - r)}{2} x_n \right] \mod 1, x_n < 0.5 \\ \left[rx_n (1 - x_n) + \frac{(4 - r)(1 - x_n)}{2} \right] \mod 1, x_n \ge 0.5 \end{cases}$$

式中:r为[0,4]之间的随机数。

(2) Levy 飞行策略

Levy 飞行指步长的概率分布为重尾分布的随机行走策略^[7],分布函数数学表达式为:

$$Levy(\beta) = \frac{\mu}{|p|^{\frac{1}{\beta}}}$$
 (6)

式中: Levy(β)为飞行步长; β 为 [0,2] 之间的随机数; μ 服从 $N(0,\sigma_u^2)$ 分布; v 服从 $N(0,\sigma_u^2)$ 分布。

Levy 飞行策略引入后, COA 在开发阶段位置更新公式由式 (4) 变为:

$$x_{i,j}^{P2} = x_{i,j} + (1 - 2R) (b_{j,L}^{W} + R (b_{j,U}^{W} - b_{j,L}^{W})) \cdot \text{Levy}(\beta)$$
 (7)

(3) 自适应权重因子

权重因子 ω 对搜索能力有很大影响,当 ω 较大时,全局搜索能力较强。当 ω 较小时,局部搜索能力较强。为权衡全局搜索和局部搜索能力。在迭代初期 ω 值较大,以此来增强初期全局搜索能力 $^{[8]}$ 。权重因子 ω 取值表达式为:

$$\omega = \omega_D - (\omega_D - \omega_X) \arctan\left(\frac{\pi t}{2T}\right)$$
 (8)

式中: ω_{\max} 为最大惯性权重; ω_{\min} 为最小惯性权重。本文设置 ω_{\max} 和 ω_{\min} 值分别为 0.9、0.4。

自适应权重因子引入后, COA 在探索阶段位置更新公式由式(3)变为:

$$x_{i,j}^{\text{Pl}} = \begin{cases} x_{i,j} + \omega(G_j^g - Ix_{i,j}), F_{G,j}^g \le F_{i,j} \\ x_{i,i} + \omega(x_{i,i} - G_j^g), F_{G,i}^g > F_{i,i} \end{cases}$$
(9)

(4) 透镜成像反向学习

针对 COA 算法陷入局部最优值问题,引入透镜成像反向学习策略。通过计算当前位置的反向解,以此扩大寻优范围,增强跳出局部最优值的能力^[9]。具体数学表达式为:

$$\begin{cases} x_{i,j}^{N} = \frac{b_{j}^{U} + b_{j}^{L}}{2} + \frac{b_{j}^{U} + b_{j}^{L}}{2k} - \frac{x_{i,j}}{k} \\ k = \left[1 + \left(\frac{t}{T}\right)^{0.5}\right]^{10} \end{cases}$$
 (10)

1.3 XGBoost 模型

XGBoost 是一种分布式梯度提升树的模型,该算法是将多种分类器整合为一个大分类器,多种分类器包含线性分类器、分类回归树等。通过对误差的不断分类来解决过拟合、泛化能力差等问题,其主体是不断增加新的数去拟合上次残差计算出的目标函数。相当于生成新的函数拟合模型的残差,以此不断迭代来提高模型的准确率[10]。具体模型公式为:

$$\hat{y} = \varphi(x_i) = \sum_{i=1}^{k} f_k(x_i) \quad f_k \in F$$
 (11)

$$F = \{ f(x) = \omega_q(x) \}$$

$$(q: R^m \to T, \omega \in R^T)$$
(12)

式中: \hat{y}_i 为第 k 轮迭代后树的预测结果, q 为树结构, T 为叶子结点数目, ω 为叶子结点权重值。

在 XGBoost 模型中, 目标优化函数公式为:

$$O^{(k)} = \sum_{i=1}^{n} L(y_i, \hat{y}_i) + \sum_{i=1}^{k} \Omega(f_i)$$
 (13)

$$\Omega(f_i) = \gamma T + \frac{1}{2}\lambda \sum_{i=1}^{r} \omega^2$$
 (14)

式中: i 为第 i 个样本; n 为样本的总数; k 为第 k 棵树; $L(y_i,\hat{y_i})$ 为损失函数,其中: y_i 为样本的真实值, $\hat{y_i}$ 为样本的预测值; $\Omega(f_i)$ 为正则函数,其中 γ 为树上的叶子总数, γ 和 λ 为正则参数,主要用于抑制叶子过度增加导致模型复杂化。

1.4 ICOA-XGBoost 模型建立

基于上述的研究,提出一种 ICOA 优化 XGBoost 参数的 光伏阵列故障模型,具体流程如图 1 所示。

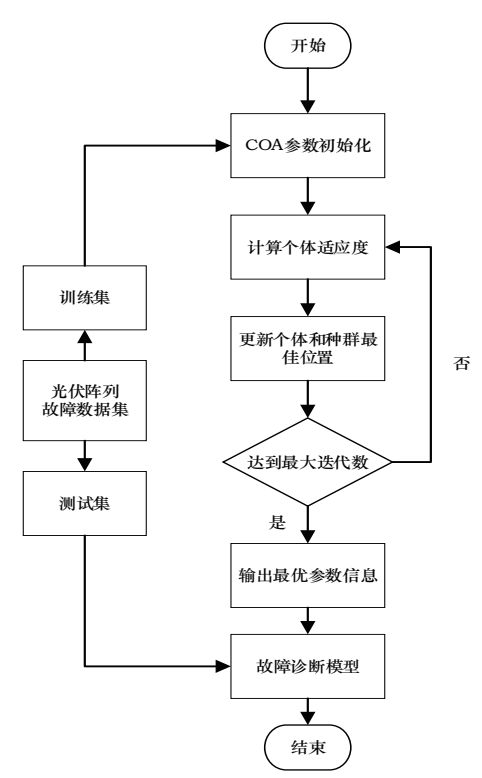


图 1 基于 ICOA-XGBoost 故障诊断流程图

2 ICOA 算法性能测试

为了验证 ICOA 算法性能,将 COA 算法、DBO 算法和WOA 算法作为对比试验,设置最大迭代次数为 200,种群规模为 30,维数为 30,使用表 1 中的 4 个基准函数,其中 F1和 F2 为单峰函数,F3 和 F4 为多峰函数。使用测试指标为mean和 std。表 2 为 30 次测试后的平均测试结果 [11]。实验结果如表 2 所示。

表 1 基准测试函数

编号	函数	搜索区间	理论极值
F1	$f_1(x) = \sum_{i=1}^n x_i^2$	[-100,100]	0
F2	$f_2(x) = \sum_{i=1}^{n} x_i + \prod_{i=1}^{n} x_i $	[-10,10]	0
F3	$f_9(x) = \sum_{i=1}^{n} \left[x_i^2 - 10\cos(2\pi x_i) + 10 \right]$	[-5.12,5.12]	0
F4	$f_{11} = 1 + \frac{1}{4000} \sum_{i=1}^{n} x_i^2 - \prod_{i=1}^{n} \cos\left(\frac{x_i}{\sqrt{i}}\right)$	[-600,600]	0

表 2 测试函数结果对比

函数	指标	ICOA	COA	WOA	DBO
F1	mean	0	0	1.131e ⁻³	3.630e ⁻³
	std	0	0	1.712e ⁻³	1.131e ⁻³
F2	mean	0	7.158e ⁻⁷²	1.874e ⁻²⁰	4.237e ⁻¹⁹
	std	0	3.795e ⁻⁷¹	5.474e ⁻²⁰	1.651e ⁻¹⁸
F3	mean	0	0	8.379	4.520e ⁻¹
	std	0	0	17.579	1.418
F4	mean	0	0	1.172e ⁻¹	1.410e ⁻²
Г4	std	0	0	2.763e ⁻¹	3.750e ⁻²

由表 2 可知,ICOA 总能找到理论极值,且 std 为 0 说明 ICOA 寻优能力强且稳定,而 COA 算法也能得到理论极值点,但寻优需迭代次数比 ICOA 多。表明了该算法所采用的优化策略,既能加快算法的收敛速度,也加强了寻优能力。

3 ICOA-XGBoost 光伏故障诊断仿真实验

3.1 实验设计

在实际故障中,光伏故障一般为短路、开路、老化、阴 影遮挡 4 种故障。本文通过 Simulink 仿真搭建光伏阵列仿真 模型,以此获取不同状态下的数据。该阵列主要由 4×4 的光 伏组件构成串并联结构 [12]。

其中,短路故障仿真采用连接线将组件短路连接;开路故障仿真采用组件直接断开的方式;阴影遮挡故障仿真采用辐照度 $G=200~\mathrm{W/m^2}$;老化故障仿真采用串联电阻方式,主线路串联 $5~\Omega$ 为轻微老化,串联 $10~\Omega$ 为严重老化。阵列运行条件在标准情况下($T=25~\mathrm{C}$, $G=1000~\mathrm{W/m^2}$)。本文选取 U_{oc} 、 I_{sc} 、 U_{mp} 、 I_{mp} 作为故障特征参数。在 Simulink 仿真

实验中,光照辐照度取值范围为 $G \in [300,1000]$ W/m²,步长为 20 W/m²,组件环境温度为 $T \in [15,45]$ ℃,步长为 2 ℃。以此 收集到 5250 组数据。按 8:2 比例将数据分为训练集和测试集。最后将得到的数据输入到分类模型中进行故障分类。

3.2 仿真结果分析

为了比较 ICOA-XGBoost 的性能,保持基本参数不变。 (最大迭代数为 30,种群规模为 20)。将数据输入到 COA-XGBoost、WOA-XGBoost、DBO-XGBoost 模型中进行故障诊断,实验结果适应度寻优图如图 2 所示,准确率如表 3 所示。

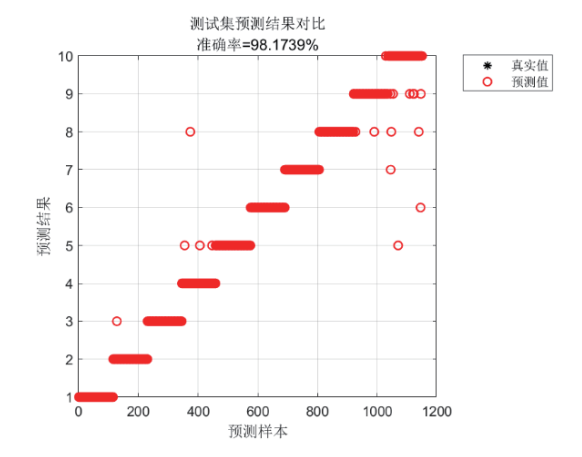


图 2 ICOA-XGBoost 故障诊断模型结果

表 3 不同模型的诊断准确率和系数

分类算法	准确率 /%
ICOA-XGBoost	98.173 9
COA-XGBoost	96.256 4
DBO-XGBoost	91.826 1
WOA-XGBoost	90.784 5

由图 2 可知,ICOA-XGBoost 算法准确率达到 98.173 9%,ICOA 优化 XGBoost 算法效果好,相比 COA-XGBoost 算法准确率提高 1.917 5%。相比算法提高 6.347 8%~7.389 4%。实验结果表明改进策略能有效提高故障识别率,解决 XGBoost 算法参数选择问题。

4 结论

提出的 ICOA 算法与 XGBoost 结合应用于光伏阵列故障 诊断中,实验对 4 种类型故障进行仿真模拟,引入 Logistic-Tent 混沌映射初始化种群、自适应权重因子、Levy 飞行策略和透镜成像学习策略,对基础 COA 算法进行改进,从而得到 ICOA 算法。通过与传统 COA 算法、WOA 算法、DBO 算进行比较,实验表明该改进算法有更好的稳定性和寻优能力。通过对 4 种模型进行故障仿真分析,实验表明 ICOA-XGBoost 算法相比其他模型具有更高的准确率。

参考文献:

- [1] 颜奕,黄宇,陈鸣,等.基于电容阵列 I-V 测试仪的光伏 STC 曲线拟合研究 [J]. 电子测量与仪器学报,2017,31(2):272-279.
- [2] 吴亚钧,王璐,张金江.基于 IDBO-LightGBM 的光伏阵 列故障诊断方法 [J/OL]. 电源学报,1-15[2024-05-14].http:// kns.cnki.net/kcms/detail/12.1420.TM.20240426.1116.048. html.
- [3] 王一鸣, 许颇, 张凌翔, 等. 基于 SSA-SVM 的光伏阵列故障诊断模型 [J]. 电子设计工程, 2024, 32(13):46-49.
- [4] 罗凯元, 刘光宇, 毛嘉铭. 基于改进 BiLSTM 模型的光伏 阵列故障诊断 [J/OL]. 电源学报,1-13[2024-05-11].http://kns.cnki.net/kcms/detail/12.1420.tm.20240517.1702.001.html.
- [5] 刘建锋, 李志远, 周亚茹. 基于漏磁场和 ICOA-ResNet 的 变压器绕组早期故障诊断 [J]. 电力系统保护与控制, 2024, 52(9): 99-110.
- [6] 秦秋霞,梁仲月,徐毅.基于 Logistic-Tent 混沌映射和位 平面的图像加密算法 [J]. 大连民族大学学报, 2022, 24(3): 245-252.
- [7] 唐浩漾, 王亦凡, 秦波, 等. 基于改进 SSA 优化 SVM 的滚动轴承故障诊断方法 [J]. 计算机技术与发展, 2024, 34(5): 175-182.
- [8] 黄鹤,高永博, 茹锋, 等. 基于自适应黏菌算法优化的无人机三维路径规划 [J]. 上海交通大学学报, 2023, 57(10): 1282-1291.
- [9] 史洪岩, 蔡志豪. 基于自适应权重与透镜成像学习的麻雀 算法[J]. 电子设计工程, 2024, 32(5):13-18+24.
- [10] 谭海旺,杨启亮,邢建春,等.基于 XGBoost-LSTM 组合模型的光伏发电功率预测 [J]. 太阳能学报,2022,43(8):75-81.
- [11] 周娇.基于图像分割的群智能算法改进研究[D].贵阳:贵州大学,2021.
- [12] 高天. 基于增强核极限学习机的光伏阵列状态检测研究 [D]. 淮南:安徽理工大学, 2024.

【作者简介】

董建业 (2000—), 男, 江苏淮安人, 硕士研究生, 研究方向: 光伏阵列故障检测。

李红月 (1978—), 女, 安徽萧县人, 硕士, 副教授, 研究方向: 电力电子与电力传动。

(收稿日期: 2024-08-02)